



(12)发明专利申请

(10)申请公布号 CN 107063231 A

(43)申请公布日 2017.08.18

(21)申请号 201710172811.3

(22)申请日 2017.03.22

(71)申请人 南京农业大学

地址 211225 江苏省南京市溧水区白马镇
国家农业科技园

(72)发明人 田光兆 顾宝兴 王海青 周俊
安秋

(74)专利代理机构 南京天华专利代理有限责任
公司 32218

代理人 陆海天 徐冬涛

(51)Int.Cl.

G01C 21/00(2006.01)

G01C 21/20(2006.01)

权利要求书1页 说明书3页 附图1页

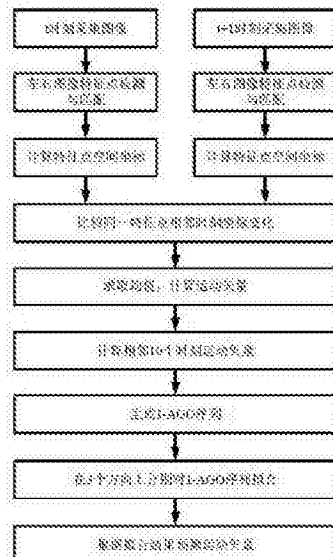
(54)发明名称

一种基于双目视觉的拖拉机运动矢量预测
方法

(57)摘要

本发明涉及一种基于双目视觉的拖拉机运动矢量预测方法，包括以下步骤：1)通过架设于拖拉机车头正前方的双目相机对周围环境进行图像采集，获得T时刻的左、右图像各一张；2)对上述左、右图像进行特征点检测与匹配，然后根据视差原理计算图像中特征点的空间坐标 $I(T)$ ；3)在 $T+1$ 时刻重复1)和2)的步骤，获得特征点的空间坐标 $I(T+1)$ ；4)获得拖拉机的运动矢量 $\Delta I = I(T+1) - I(T)$ ；5)重复上述步骤1)至4)10次，获得10个运动矢量；6)对上述10个运动矢量进行一次累加，生成1-AGO序列；7)在不同的3个方向上分别对1-AGO序列拟合，得出每个方向上的变化曲线；8)根据上述变化曲线，得出下一时刻各个方向上的运动矢量，即完成了运动矢量预测。本发明能够预测拖拉机未来时刻的运动矢量，便于精准控制。

CN 107063231 A



1. 一种基于双目视觉的拖拉机运动矢量预测方法,其特征是包括以下步骤:

1) 通过架设于拖拉机车头正前方的双目相机对周围环境进行图像采集,获得T时刻的左、右图像各一张;

2) 对上述左、右图像进行特征点检测与匹配,然后根据视差原理计算图像中特征点的空间坐标 $I(T)$;

3) 在 $T+1$ 时刻重复1)和2)的步骤,获得特征点的空间坐标 $I(T+1)$;

4) 获得拖拉机的运动矢量 $\Delta I = I(T+1) - I(T)$;

5) 重复上述步骤1)至4)10次,获得10个运动矢量;

6) 对上述10个运动矢量进行一次累加,生成1-AGO序列;

7) 在不同的3个方向上分别对1-AGO序列拟合,得出每个方向上的变化曲线;

8) 根据上述变化曲线,得出下一时刻各个方向上的运动矢量,即完成了运动矢量预测。

2. 根据权利要求1所述基于双目视觉的拖拉机运动矢量预测方法,其特征是所述双目相机包括对称设置的左相机和右相机,水平放置于拖拉机车头正前方。

3. 根据权利要求1所述基于双目视觉的拖拉机运动矢量预测方法,其特征是所述步骤7)中的3个方向为:水平向右的i方向,垂直向下的j方向和水平向前的k方向。

一种基于双目视觉的拖拉机运动矢量预测方法

技术领域

[0001] 本发明涉及一种农机控制技术,尤其是一种控制无人驾驶拖拉机运行的自主导航技术,具体的说是一种基于双目视觉的拖拉机运动矢量预测方法。

背景技术

[0002] 随着城市化进程的快速推进,农村劳动力短缺的现状日益凸显,无人驾驶拖拉机得到日益广泛的应用。在无人驾驶拖拉机的自主导航过程中,通常采用GNSS(全球卫星导航系统)进行精确定位。然而,GNSS信号容易受到树木、云层的遮挡,导致定位误差很大或定位失败。为保证导航工作的顺利进行,往往还需要通过机器视觉进行辅助定位。目前,大都采用机器视觉进行障碍物位姿的获取,为定位提供参考依据,即,根据当前位姿与预定位姿的偏差计算控制量,然后将控制量作用于执行器件。由于已经发生了位姿偏差,那么很有可能导致作业对象损坏。如果能获取拖拉机的运动矢量的预测数据,将会显著提高导航控制精度。

发明内容

[0003] 本发明的目的是针对现有技术的不足,提供一种基于双目视觉的拖拉机运动矢量预测方法,能够预测拖拉机未来时刻的运动矢量,为精准控制提供有效的支持。

[0004] 本发明的技术方案是:

[0005] 一种基于双目视觉的拖拉机运动矢量预测方法,包括以下步骤:

[0006] 1) 通过架设于拖拉机车头正前方的双目相机对周围环境进行图像采集,获得T时刻的左、右图像各一张;

[0007] 2) 对上述左、右图像进行特征点检测与匹配,然后根据视差原理计算图像中特征点的空间坐标 $I(T)$;

[0008] 3) 在 $T+1$ 时刻重复1) 和2) 的步骤,获得特征点的空间坐标 $I(T+1)$;

[0009] 4) 获得拖拉机的运动矢量 $\Delta I = I(T+1) - I(T)$;

[0010] 5) 重复上述步骤1) 至4) 10次,获得10个运动矢量;

[0011] 6) 对上述10个运动矢量进行一次累加,生成1-AG0序列;

[0012] 7) 在不同的3个方向上分别对1-AG0序列拟合,得出每个方向上的变化曲线;

[0013] 8) 根据上述变化曲线,得出下一时刻各个方向上的运动矢量,即完成了运动矢量预测。

[0014] 进一步的,所述双目相机包括对称设置的左相机和右相机,水平放置于拖拉机车头正前方。

[0015] 进一步的,所述步骤7) 中的3个方向为:水平向右的i方向,垂直向下的j方向和水平向前的k方向。

[0016] 本发明的有益效果:

[0017] 本发明设计合理,逻辑清楚,构思巧妙,能够预测拖拉机未来时刻的运动矢量,为

通过工控机精准控制拖拉机提供有效的支持。

附图说明

[0018] 图1是本发明的双目相机示意图。

[0019] 图2是本发明的工作流程示意图。

具体实施方式

[0020] 下面结合附图和实施例对本发明作进一步的说明。

[0021] 本发明中的图像采集装置由双目相机、1394B接口卡和工控机组成。如图1所示，所述双目相机由对称设置的左相机和右相机构成。双目相机安装在拖拉机正前方，距离地面 $1.0 \pm 0.1\text{m}$ 。每次图像采集事件由工控机中程序自动触发，双目相机的左、右相机同时各采集1幅图像至计算机内存中。

[0022] 设置图像采集时间间隔为300ms。空间坐标原点在右相机光心，水平向右为i轴正方向，垂直向下为j轴方向，水平向前为k轴正方向。

[0023] 如图2所示，本发明包括以下步骤：

[0024] 1) 触发双目相机对周围环境进行图像采集，获得T时刻的左、右图像各一张；

[0025] 2) 对上述左、右图像进行特征点检测与匹配，然后根据视差原理计算图像中特征点的空间坐标 $I(T)$ ；

[0026] 3) 在 $T+1$ 时刻重复1) 和2) 的步骤，获得特征点的空间坐标 $I(T+1)$ ；

[0027] 4) 获得拖拉机的运动矢量 $\Delta I = I(T+1) - I(T)$ ；

[0028] 5) 重复上述1) 至4) 步骤10次，获得10个运动矢量；

[0029] 6) 对上述10个运动矢量进行一次累加，生成1-AG0序列；

[0030] 7) 在不同的3个方向上分别对1-AG0序列拟合，得出每个方向上的变化曲线；

[0031] 8) 根据上述变化曲线，得出下一时刻各个方向上的运动矢量，即完成了运动矢量预测。

[0032] 具体实施例如下：

[0033] 在第0时刻，左右相机同时采集图像至内存中，分别记为 $I_L(0)$ 和 $I_R(0)$ ，对 $I_L(0)$ 和 $I_R(0)$ 进行SIFT特征点检测与匹配，匹配成功的点记为集合 P_0 ，并通过视差法计算 P_0 所有点的空间坐标。

[0034] 在第1时刻，左右相机同时采集图像至内存中，分别记为 $I_L(1)$ 和 $I_R(1)$ ，对 $I_L(1)$ 和 $I_R(1)$ 进行SIFT特征点检测与匹配，匹配成功的点记为集合 P_1 ，并通过视差法计算 P_1 所有点的空间坐标。

[0035] 再次通过特征匹配，查找 P_1 和 P_0 的交集 D_1 ， D_1 即为第1时刻和第0时刻拍摄到的相同特征点。

[0036] 计算 D_1 中所有特征点从第0时刻到第1时刻的坐标变化矢量，并取均值，得到第1时刻的运动矢量 $\overset{\text{u}}{m}_1$ 。 $\overset{\text{u}}{m}_1 = x_1 \overset{\text{i}}{i} + y_1 \overset{\text{j}}{j} + z_1 \overset{\text{k}}{k}$ ，其中 $\overset{\text{i}}{i}$ 、 $\overset{\text{j}}{j}$ 、 $\overset{\text{k}}{k}$ 为3个方向上的矢量单位。

[0037] 继续按照上述方法，分别计算第2时刻至第10时刻的运动矢量 $\overset{\text{u}}{m}_2$ 、 $\overset{\text{u}}{m}_3$... $\overset{\text{u}}{m}_{10}$ ，

$\overset{\text{u}}{m}_n = \overset{\text{i}}{x}_n \overset{\text{i}}{i} + \overset{\text{j}}{y}_n \overset{\text{j}}{j} + \overset{\text{k}}{z}_n \overset{\text{k}}{k}$ 对10个运动矢量的3个方向上分别进行一次累加操作,生成3个方向上的1-AGO序列 $\{\mathcal{Q}_n^i\}$ 、 $\{\mathcal{Q}_n^j\}$ 、 $\{\mathcal{Q}_n^k\}$ 。其中,

$$[0038] \quad \mathcal{Q}_n^i = \sum_{N=1}^n x_N, \quad \mathcal{Q}_n^j = \sum_{N=1}^n y_N, \quad \mathcal{Q}_n^k = \sum_{N=1}^n z_N,$$

[0039] 对序列 $\{\mathcal{Q}_n^i\}$,用三次多项式拟合,可以得到i方向上关于时间t的变化曲线 $f_i(t)$,在曲线上找到第11个时刻所对应的函数值 $f_i(11)$ 。那么就可以得出 $x_{11} = f_i(11) - \mathcal{Q}_{10}^i$ 。

[0040] 用同样的方法,得到:

$$[0041] \quad y_{11} = f_j(11) - \mathcal{Q}_{10}^j,$$

$$[0042] \quad z_{11} = f_k(11) - \mathcal{Q}_{10}^k,$$

[0043] 最终得到第11个时刻的运动矢量预测值 $\overset{\text{u}}{m}_{11} = \overset{\text{i}}{x}_{11} \overset{\text{i}}{i} + \overset{\text{j}}{y}_{11} \overset{\text{j}}{j} + \overset{\text{k}}{z}_{11} \overset{\text{k}}{k}$ 。

[0044] 重复上述操作,即可完成对第12、13……N时刻的运动矢量预测。

[0045] 本发明未涉及部分均与现有技术相同或可采用现有技术加以实现。

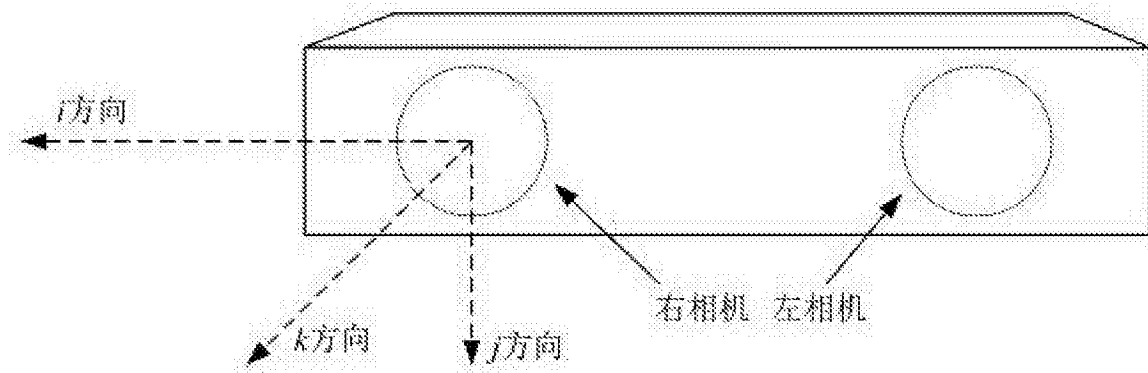


图1

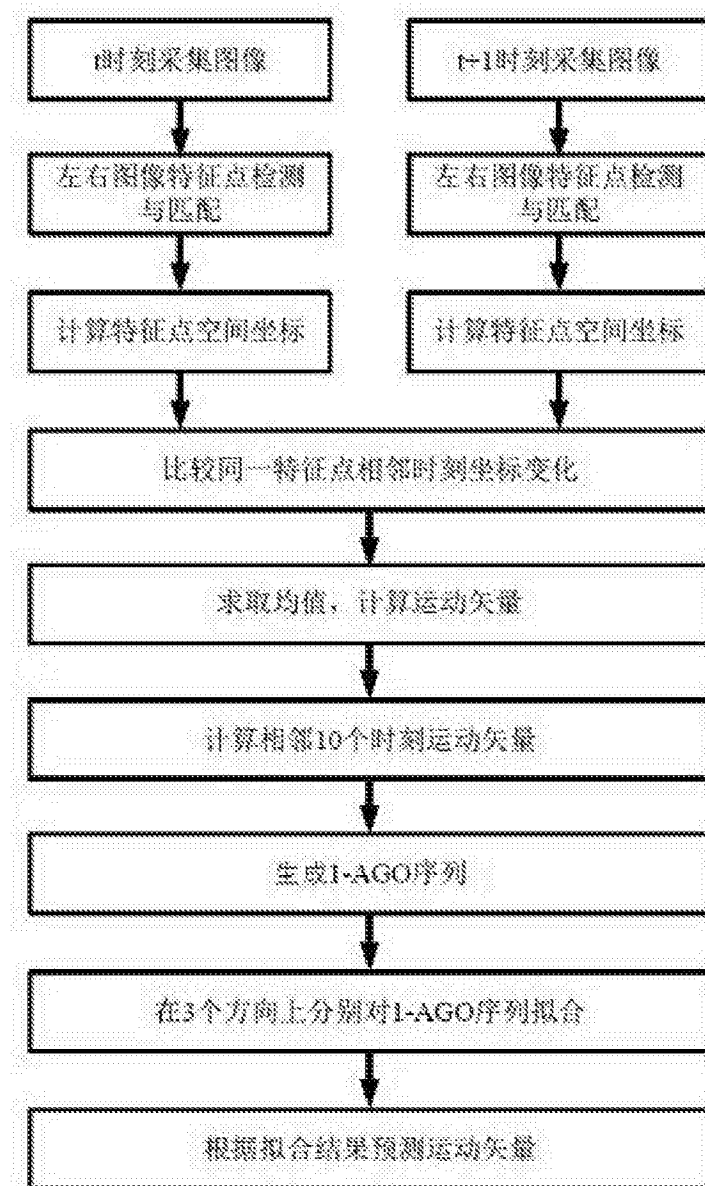


图2